

Versuch einer ökologischen Abgrenzung mittels Schwellenwerten

Objekttyp: **Chapter**

Zeitschrift: **Veröffentlichungen des Geobotanischen Institutes der Eidg. Tech. Hochschule, Stiftung Rübél, in Zürich**

Band (Jahr): **47 (1971)**

PDF erstellt am: **03.07.2024**

Nutzungsbedingungen

Die ETH-Bibliothek ist Anbieterin der digitalisierten Zeitschriften. Sie besitzt keine Urheberrechte an den Inhalten der Zeitschriften. Die Rechte liegen in der Regel bei den Herausgebern.

Die auf der Plattform e-periodica veröffentlichten Dokumente stehen für nicht-kommerzielle Zwecke in Lehre und Forschung sowie für die private Nutzung frei zur Verfügung. Einzelne Dateien oder Ausdrucke aus diesem Angebot können zusammen mit diesen Nutzungsbedingungen und den korrekten Herkunftsbezeichnungen weitergegeben werden.

Das Veröffentlichen von Bildern in Print- und Online-Publikationen ist nur mit vorheriger Genehmigung der Rechteinhaber erlaubt. Die systematische Speicherung von Teilen des elektronischen Angebots auf anderen Servern bedarf ebenfalls des schriftlichen Einverständnisses der Rechteinhaber.

Haftungsausschluss

Alle Angaben erfolgen ohne Gewähr für Vollständigkeit oder Richtigkeit. Es wird keine Haftung übernommen für Schäden durch die Verwendung von Informationen aus diesem Online-Angebot oder durch das Fehlen von Informationen. Dies gilt auch für Inhalte Dritter, die über dieses Angebot zugänglich sind.

7. Versuch einer ökologischen Abgrenzung mittels Schwellenwerten

Die Charakterisierung der Böden der Probeflächen innerhalb der beiden Transekte ergab, daß zwischen *QuAs* und *MFb* einerseits und *QuAs* und *MFc* andererseits ökologische und floristische Gradienten bestehen. Wir haben versucht, bei den Abbildungen durch die Darstellungsweise der Meßwerte diese Gradienten in Form von Regressionsgeraden darzustellen, weil dies eine Abstraktion bedeuten würde, die nicht im Sinn dieser Arbeit läge. Zudem stellt sich natürlich

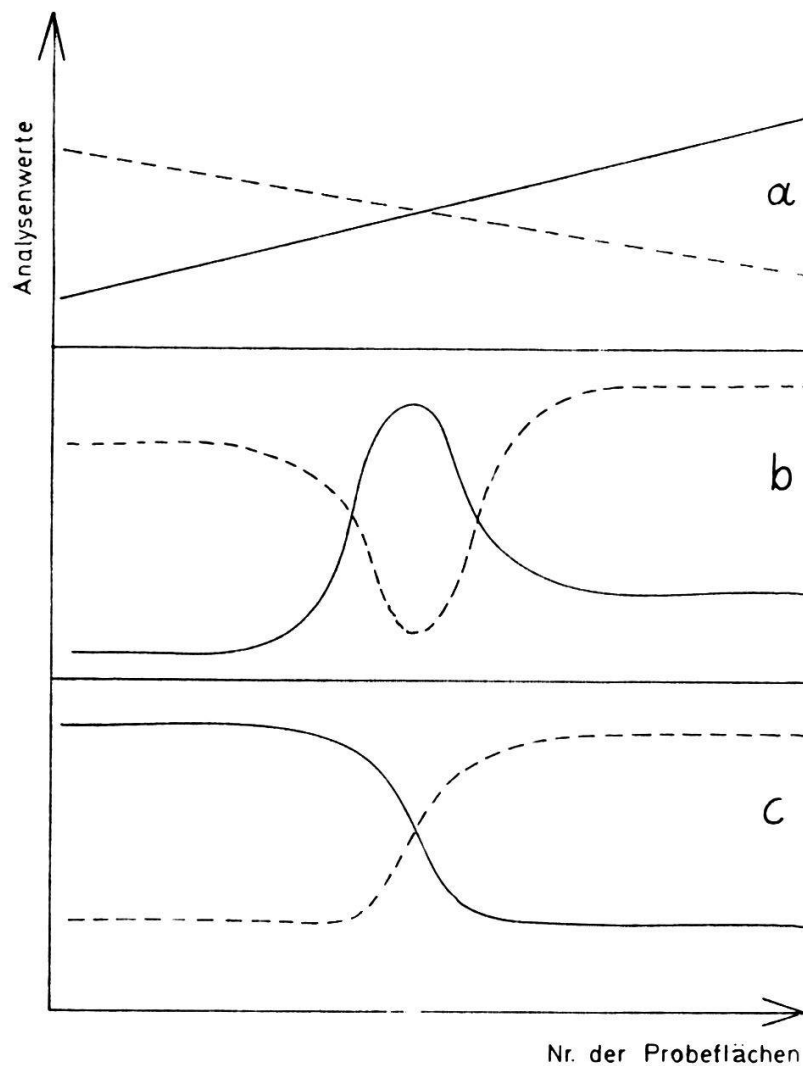


Abb. 24 Schematische Darstellung der drei Arten von möglichen Regressionskurven für verschiedene Bodenfaktoren innerhalb eines Transekts über eine Vegetationsgrenze. (a) Gerade, (b) Binominalkurve, (c) Neutralisationskurve

die Frage, ob es sich immer um *Regressionsgeraden* handelt. Es bestünde immerhin die Möglichkeit, daß die Werte einzelner Faktoren *Regressionskurven* ergäben, wie wir sie zum Beispiel bei der Neutralisation von Säuren durch Basen erhalten. Diese Kurven weisen einen Umschlagsbereich auf, der in der Chemie als Äquivalenzpunkt bezeichnet wird. Ferner könnten auch Optimum- bzw. Minimumkurven auftreten, wobei im Übergangsbereich optimale bzw. minimale Verhältnisse bezüglich eines bestimmten Bodenfaktors herrschen (Binominalkurven). In Abbildung 24 sind die drei möglichen Arten von Regressionskurven zusammengestellt.

Aus den ermittelten Analysenwerten solche Kurven zu berechnen, ist mathematisch ziemlich aufwendig und erschien für diese Arbeit nicht angebracht. Wir werden dagegen versuchen, durch eine andere Art der Darstellung zu ermitteln, ob innerhalb der Transekte gleichmäßige lineare Gradienten auftreten oder nicht und ob bei den einzelnen Bodenfaktoren Schwellenwerte berechnet werden können, die gleichsam den «Äquivalenzpunkt» eines Bodenfaktors darstellen, der über- bzw. unterschritten werden muß, damit die eine oder andere Vegetationseinheit ausgebildet wird.

Wie aus den Berechnungen der Gemeinschaftskoeffizienten und deren graphischer Darstellung (Abb. 5 und 12) sowie aus den floristischen Darstellungen (Abb. 4 und 11) hervorgeht, gibt es einen Übergangsbereich zwischen den einzelnen Vegetationseinheiten. Hier fehlen entweder die für das *QuAs* und *MFb* typischen Arten (Transekt der Station «Bim scharfen Eggen», im folgenden kurz als Transekt a bezeichnet), oder sie sind in gleichem Anteil vorhanden (Transekt der Station «Gfill-Ischlag», im folgenden kurz als Transekt b bezeichnet). Im ersten Fall ist der Übergangsbereich also negativ (Fehlen von *Oxalis acetosella* für das *MFb*, Fehlen der azidophilen Moose für das *QuAs*), im zweiten Fall positiv charakterisiert (gemeinsames Auftreten der azidophilen Moose für das *QuAs*, und *Oxalis acetosella*, *Eurhynchium striatum* und *Catharinaea undulata* für das *MFc*). Man kann nun für jedes Transekt die Mittelwerte für Tannenbestand, Übergangsbereich und Buchenbestand gesondert berechnen und einander gegenüberstellen. Hierfür wurden folgende Probeflächen ausgewählt:

- Station «Bim scharfen Eggen»:
 - MFb*: P1 bis P8, P10 bis P15
 - Übergang: P16 bis P25
 - QuAs*: P26 bis P34

- Station «Gfill-Ischlag»:
 - QuAs*: P1 bis P15
 - Übergang: P19 bis P24
 - MFc*: P15 bis P32

Die berechneten Werte sind in Tabelle 6 zusammengestellt und in Abbildungen 25 und 26 graphisch dargestellt.

Tabelle 6 Mittelwerte verschiedener Bodenfaktoren, berechnet für *QuAs*, *MFb* und *MFc* sowie für den Übergangsbereich (S)

Transekt	«Bim scharfen Eggen»			«Gfill-Ischlag»		
	<i>MFb</i>	S	<i>QuAs</i>	<i>QuAs</i>	S	<i>MFc</i>
pH (Humus)	3,9	3,8	3,6	3,8	3,5	5,0
pH (Mineralkörper)	4,2	4,2	4,1	4,0	3,8	5,1
HOH (Humus)	94,6	122,3	164,9	162,2	149,2	51,1
HOH (Mineralkörper)	32,7	35,0	39,3	34,7	35,2	36,0
NH ₄ ⁺ —N _{ak}	10,80	19,74	26,71	33,79	19,84	1,91
NO ₃ ⁻ —N _{ak}	6,34	0,88	—	1,43	5,36	4,53
Humus %	23,7	30,3	49,8	43,1	42,1	7,7
N _{tot}	0,75	1,21	1,47	1,37	1,16	0,28
C/N	17,2	16,0	19,5	18,0	21,2	15,4
KUK	12,35	13,82	14,36	15,83	16,99	13,91
H _a ⁺	16,7	22,5	20,8	19,3	24,7	11,9
S-Wert	2,4	3,1	3,0	1,7	1,4	7,6
V%	20,7	22,3	21,4	11,5	8,1	54,5
P ₂ O _{5L}	0,8	1,3	1,5	0,8	0,6	0,7
K ₂ O _L	3,2	3,1	3,9	5,0	3,6	5,0

Bereits bei oberflächlichem Vergleich fällt auf, daß die Werte des Übergangsbereichs sich keineswegs genau zwischen denen des *QuAs* und *MF* befinden. Sie sind in einigen Fällen tiefer, in anderen Fällen höher als diese. Hier besteht als Gradient keine Gerade, sondern eine Kurve, deren Optimum bzw. Minimum zwischen beiden aneinandergrenzenden Vegetationseinheiten im Übergangsbereich liegt. Hierzu gehört zum Beispiel das C/N-Verhältnis. Sein Zwischenwert ist im Transekt a niedriger als *QuAs* und *MFb*, im Transekt b höher als *QuAs* und *MFc*. Dasselbe kann man für NO₃⁻—N_{ak} im Transekt b feststellen; es wurde bereits erwähnt, daß im Moder, der hier den Übergangsbereich kennzeichnet, höhere Nitrifikation stattfindet als im *MFc* (vgl. dazu auch die hohen Werte im *MFb*!). Interessant ist ferner die Menge der austauschbaren Wasserstoffionen. Auch hier liegt in beiden Transekten das Optimum im Übergangsbereich, während Buchen- und Tannenbestand niederere Werte aufweisen. Ähnliches gilt auch für laktatlösliches Kali und den Basensättigungsgrad im Transekt b. Diese Bodenfaktoren müßte man also zum Typ b der Regressionskurven (Binominalkurve) stellen. Zum Typ a (Regressionsgerade) sind dagegen Faktoren zu zählen, deren Werte für den Übergangsbereich in der Mitte zwischen beiden Extremen liegen. Hierher gehören HOH% (Transekt a), pH (Transekt a), N_{tot} (Transekt a), NH₄⁺—N_{ak} (Transekt a und b), KUK (Transekt a), P₂O_{5L} (Transekt a).

Neutralisationskurven vom Typ c zeigen die Faktoren pH (Transekt b), HOH% (Transekt b), Humus% (Transekt a und b), N_{tot} (Transekt b), NO₃⁻—N_{ak} (Transekt a), S-Wert (Transekt b), V% (Transekt b) und K₂O_L (Transekt a).

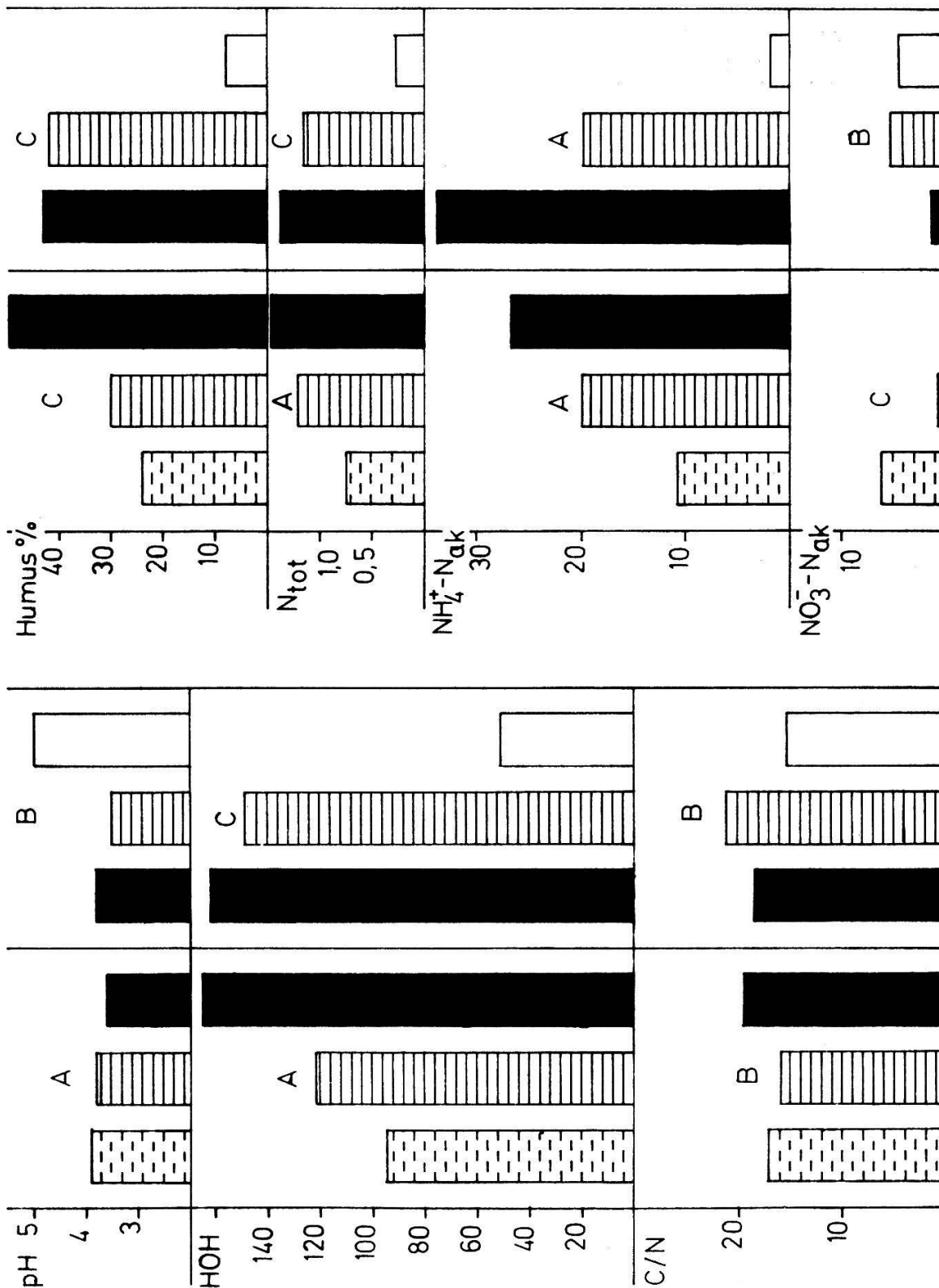


Abb. 25 Mittelwerte für *QuAs*, *Mfb* und *Mfc* sowie für die beiden Übergangsbereiche der in Proben aus 0 bis 5 cm Tiefe gemessenen Bodenfaktoren. Die linke Hälfte jeder Kolonne stellt das Transekt «Bim scharfen Eggen» (a), die rechte Hälfte das Transekt «Gfill-Ischlag» dar. Schwarz: *QuAs*, schraffiert: Übergangsbereich, unterbrochen schraffiert: *Mfb*, weiß: *Mfc*. Erklärung im Text

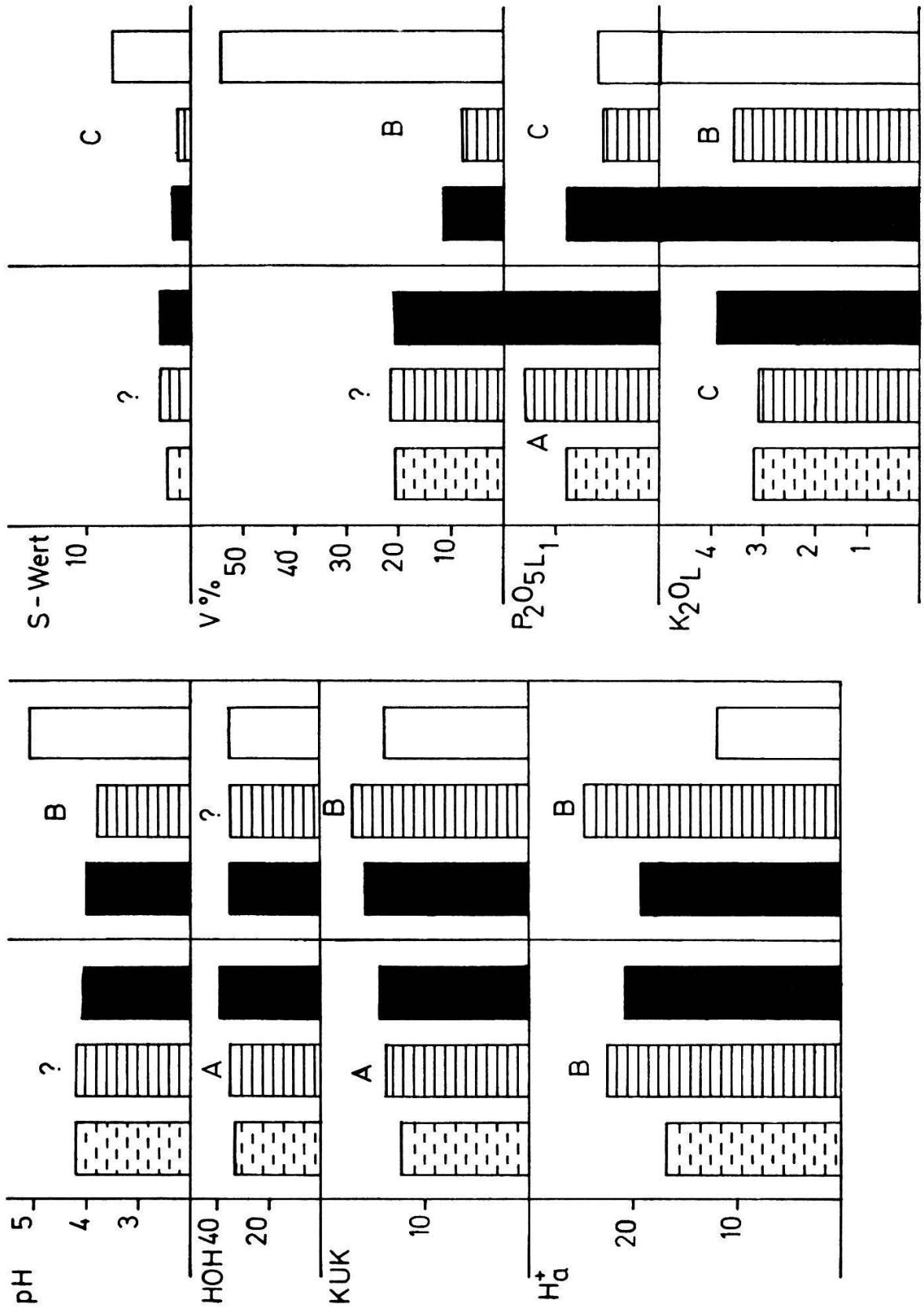


Abb. 26 Mittelwerte für *QuAs*, *MFb* und *MFc* sowie für die beiden Übergangsbereiche der in Proben aus 5 bis 15 cm Tiefe gemessenen Bodenfaktoren. Sonst wie Abbildung 25. Erklärung im Text

Keine Unterschiede zwischen Buchen- und Tannenbestand und demzufolge auch keinen charakteristischen Schwellenwert weisen die Faktoren pH (Unterboden, Transekt a), HOH% (Transekt b), S-Wert (Transekt a) und V% (Transekt a) auf.

Bei den einzelnen Faktoren bestehen also innerhalb eines jeden Transekts Unterschiede bezüglich der Art und Form der Regressionskurve. So folgen einige in ihrem Verlauf Neutralisations- oder Binominalkurven mit Umschlagspunkten oder optimalen bzw. minimalen Werten im Übergangsbereich. Interessanterweise kommen die einzelnen Kurven nicht gleichmäßig in beiden Transekten vor; so herrscht die normale Regressionsgerade im Transekt a (Übergangsbereich floristisch negativ charakterisiert), während Neutralisations- und Binominalkurven in erster Linie im Transekt b auftreten (Übergangsbereich floristisch positiv charakterisiert). Dies bedeutet aber letztlich, daß die Art der Regressionskurve innerhalb eines Transekts nicht von den einzelnen Bodenfaktoren, sondern vom Grad der Verwandtschaft zwischen beiden aneinandergrenzenden Vegetationseinheiten abhängt. Im Transekt a sind *QuAs* und *MFb* synsystematisch sehr nahe verwandt; dies hat sich aus der floristischen Analyse ergeben. Infolgedessen ändern sich die Bodenfaktoren, sofern überhaupt Unterschiede nachzuweisen sind, innerhalb des Transekts kontinuierlich. Im Transekt b unterscheiden sich dagegen *QuAs* und *MFc* floristisch sehr stark. Demgemäß ändern sich die Bodenfaktoren mehr oder weniger abrupt, und man bekommt Kurven vom Typ b und c.

Dies alles führt uns wieder zurück zum Ausgangspunkt dieser Arbeit, nämlich zur Frage, wie sich zwei aneinandergrenzende Vegetationseinheiten ökologisch voneinander abgrenzen lassen. Ob scharfe oder unscharfe Grenzen, ist ja eine Frage des Verwandtschaftsgrades, also abhängig von der Größe des Unterschieds zwischen beiden Systemen. Sind die Unterschiede relativ groß (*QuAs* und *MFc*), ist die Grenze relativ scharf, der Übergangsbereich relativ schmal, und die Standortfaktoren zeigen Umschlagsbereiche (Äquivalenzpunkte) innerhalb Kurven vom Typ b und c. Sind die Unterschiede aber relativ gering (*QuAs* und *MFb*), ist die Grenze relativ unscharf, der Übergangsbereich relativ breit, und die Standortfaktoren zeigen innerhalb eines Transekts Regressionsgeraden; sie ändern sich kontinuierlich.